

ТЕОРЕТИЧЕСКАЯ И МАТЕМАТИЧЕСКАЯ ФИЗИКА

УДК 549.121.7

О ВЫЧИСЛЕНИИ ГЛУБОКОНЕУПРУГИХ АСИМПТОТИК ДИАГРАММ С ВЕКТОРНЫМИ МЕЗОНИМИ В ОБМЕННОМ КАНАЛЕ В ОБЛАСТИ МАЛЫХ x В ФЕЙНМАНОВСКОЙ КАЛИБРОВКЕ

Н. И. Усюкина

(НИИЯФ)

Исследование дважды логарифмических асимптотик глубоконеупругих амплитуд в области малых x достаточно актуально в настоящее время, с одной стороны, в связи с широкими возможностями применения соответствующих теоретических предсказаний для обработки результатов эксперимента, а с другой — в связи с возникающими в процессе рассмотрения этих асимптотик в рамках полевых теорий вопросами чисто теоретического плана.

При анализе асимптотик амплитуд глубоконеупругого рассеяния достаточно плодотворным оказалось использование строгих интегральных представлений типа Йоста—Лемана—Дайсона, вырождающихся в теории возмущений в свой частный случай, известный под названием представления Дезера—Гильберта—Сударшана (ДГС) [1], которое для аналитической функции двух инвариантов $q^2, (q+p)^2$ может быть записано в виде

$$\int_0^1 d\xi \psi(\xi) \int_{\Lambda}^{\infty} \frac{d\xi\rho(\xi)}{(q+p\xi)^2 + \xi + i\varepsilon} \quad (1)$$

Технологию написания ДГС-представления и последующего вычисления дважды логарифмических асимптотик на их основе можно продемонстрировать на примере элементарных блоков лестничных и пере-

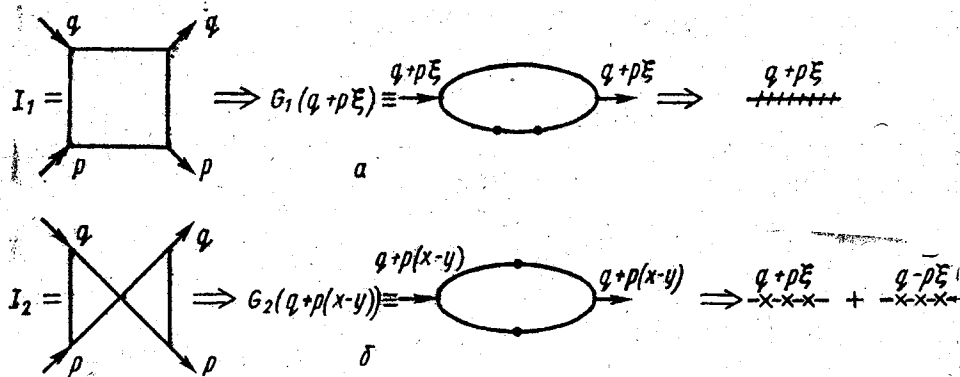


Рис. 1

крестно-лестничных диаграмм ϕ^3 -теории типа рис. 1 (в асимптотической области в спектральных представлениях мы полагаем $p^2=0$, не оговаривая это дополнительно).

В результате свертки по фейнмановским параметрам

$$\frac{1}{(k^2 + m^2)^2 \{(k-p)^2 + m^2\}} = 2 \int_0^1 \frac{d\xi (1-\xi)}{\{(k-p\xi)^2 + m^2\}^3}$$

диаграмма рис. 1, а редуцируется следующим образом:

$$V_1 \Rightarrow \int_0^1 d\xi (1-\xi) G_1((q+p\xi)^2),$$

где $G_1(k^2)$ — простая петлевая диаграмма. Технология вычисления асимптотик петлевых диаграмм разного вида достаточно хорошо разработана. Можно либо вычислять их в импульсном представлении, воспользовавшись представлением свертки в виде интеграла по фейнмановским параметрам, либо в координатном представлении записать соответствующие пропагаторы, зависящие от масс виртуальных частиц, в виде меллиновских разложений по виртуальным массам, перемножить пропагаторы, соответствующие линиям петли (так как по известной теореме из фурье-анализа фурье-образ свертки равен произведению фурье-образов), и по формулам перехода

$$F \left\{ \frac{1}{(k^2 - i\epsilon)^\alpha} \right\} = \frac{\pi^2 4^{2-\alpha} \Gamma(2-\alpha)}{\Gamma(\alpha)} \frac{1}{(x^2 + i\epsilon)^{2-\alpha}} \quad (2)$$

вернуться обратно.

Для $G_1(k^2)$ меллиновское разложение приводит к асимптотике

$$\int_{a_0-i\infty}^{a_0+i\infty} \frac{da \cdot \Gamma(a)}{(m^2)^{1+a} (k^2)^{1-a}} \Rightarrow \frac{1}{m^2 k^2}.$$

Таким образом, асимптотика I_1 определяется выражением

$$I_1 \Rightarrow \frac{1}{m^2 \cdot 2qp} \int_0^1 \frac{d\xi}{\xi - x}. \quad (3)$$

Аналогично редуцируется диаграмма рис. 1, б:

$$I_2 \Rightarrow \int_0^1 dz \int_0^1 dy \cdot G_2((q+p(z-y))^2),$$

где $G_2(k^2)$ — простая петлевая диаграмма, меллиновское разложение которой определяет ее асимптотику:

$$\int_{a_0-i\infty}^{a_0+i\infty} \frac{da \cdot \Gamma^3(a)}{\Gamma(2a) (m^2)^a (k^2)^{2-a}} \Rightarrow \frac{\ln k^2}{(k^2)^2}.$$

Далее простой заменой интеграл

$$\int_0^1 dz \int_0^1 dy \cdot f(z-y)$$

приводится к виду

$$\int_0^1 d\xi (1-\xi) f(\xi) + \int_0^1 d\xi (1-\xi) f(-\xi),$$

и I_2 редуцируется к совокупности двух диаграмм такого же вида, что и I_1 , причем второе слагаемое получается из первого заменой $q \leftrightarrow -q$:

$$I_2 \Rightarrow \frac{\ln 2qp}{(2qp)^2} \left\{ \int_0^1 \frac{d\xi (1-\xi)}{(x+\xi)^2} + \int_0^1 \frac{d\xi (1-\xi)}{(-x+\xi)^2} \right\}.$$

При использовании рассмотренной технологии исследования асимптотик элементарных блоков асимптотики лестничных диаграмм с произвольным числом блоков вычисляются путем последовательной поэтапной редукции.

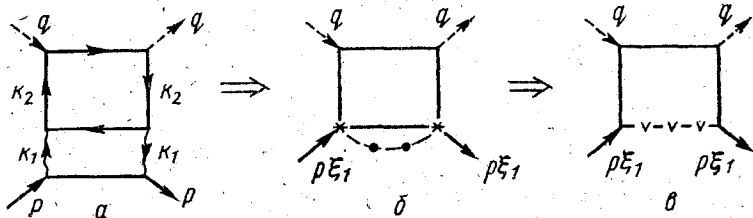


Рис. 2

Рассмотрим асимптотику диаграммы рис. 2, а. Сплошной линией на этой диаграмме изображен фермион, взаимодействующий с векторным мезоном (волнистая линия) в фейнмановской калибровке. Суммирование по спином фермионов приводит к следующей структуре для нижней линии диаграммы рис. 2, а:

$$\text{Sp } \gamma^\alpha \widehat{p} \gamma^\beta \widehat{p} - \text{Sp } \gamma^\alpha \widehat{k}_1 \gamma^\beta \widehat{p}.$$

Вклады от структуры, соответствующей второму слагаемому, всегда являются предасимптотическими по сравнению с вкладом от структуры первого слагаемого.

Асимптотике функции Грина

$$\frac{1}{(k^2 + \mu^2 + i\varepsilon)^3} \quad (4)$$

в импульсном представлении при $k^2 \rightarrow \infty$ соответствует в координатном представлении асимптотика при $x^2 \rightarrow 0$ (см. формулу (2) перехода из импульсного представления в координатное).

Асимптотический ряд в координатном представлении, соответствующий функции Грина (4), можно получить, воспользовавшись для нее представлением Меллина ($0 < a_0 < 1$) (нормировочные множители на промежуточных этапах опускаются):

$$\begin{aligned} \frac{1}{(k^2 + \mu^2 + i\varepsilon)^3} &= \int_{a_0 - i\infty}^{a_0 + i\infty} \frac{da \cdot \Gamma(1+a) \Gamma(2-a)}{\Gamma(3) (\mu^2)^{1+a} (k^2 + i\varepsilon)^{2-a}} \Rightarrow \\ \Rightarrow \int_{a_0 - i\infty}^{a_0 + i\infty} \frac{da \cdot \Gamma(a) \Gamma(1+a)}{(\mu^2)^{1+a} (x^2 - i\varepsilon)^a} &= \frac{1}{\mu^2} - \int_{a_0 - i\infty}^{a_0 + i\infty} \frac{da \cdot \Gamma^2(a) x^2}{(\mu^2)^a (x^2 - i\varepsilon)^a}. \end{aligned} \quad (5)$$

В приведенном выражении выделен асимптотически главный вклад в функцию Грина, соответствующий крайнему правому полюсу подынтегрального выражения в меллиновском интервале, и сдвинут налево

контур интегрирования. Первое слагаемое приводит к полюсным по μ^2 вкладам в асимптотику амплитуды глубоконеупругого рассеяния, т. е. в теориях с нулевыми массами векторных мезонов (таких, как, например, электродинамика или хромодинамика) вклады диаграммы рис. 2 содержат инфракрасные расходимости. Нетрудно понять, что, так как результирующая амплитуда в данном порядке теории возмущений не содержит расходимостей в инфракрасной области, вклады полюсного по μ^2 типа для диаграмм рис. 2 и 3 должны сокращаться в сумме.

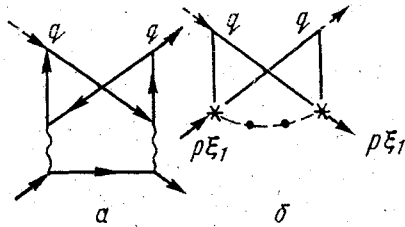


Рис. 3

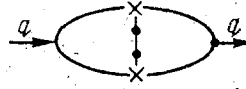


Рис. 4

Действительно, второй этап редукции для полюсного по μ^2 слагаемого в диаграмме рис. 2 (звездочкой на рис. 2, б и 4 обозначены структурные множители \hat{p} в вершинах) приводит к выражению вида

$$\int_0^1 \frac{d\xi_2 (1 - \xi_2) \cdot 2qp}{q^2 + 2qp\xi_1\xi_2} I_1^{\mu\nu} + \int_0^1 \frac{d\xi_2 (1 - \xi_2) \cdot 2qp I_2^{\mu\nu}}{(q^2 + 2qp\xi_1\xi_2)^2} \Rightarrow$$

$$\Rightarrow 2qp \int_0^\infty \frac{d\xi \cdot I^{\mu\nu}}{(q^2 + \xi)^2 \{(q + p\xi_1)^2 + \xi\}} = \frac{1}{\xi_1} \int_0^\infty \frac{d\xi \cdot I^{\mu\nu}}{q^2 + \xi} \left\{ \frac{1}{q^2 + \xi} - \frac{1}{(q + p\xi_1)^2 + \xi} \right\}, \quad (6)$$

где $I^{\mu\nu} = \xi I_1^{\mu\nu} + I_2^{\mu\nu}$,

$$I_1^{\mu\nu} = \text{Sp} \{ 2\hat{p}\hat{\gamma}^\mu \hat{q}\hat{\gamma}^\nu - \hat{p}\hat{q}\hat{\gamma}^\mu \hat{\gamma}^\nu - \hat{\gamma}^\mu \hat{\gamma}^\nu \hat{q}\hat{p} \}, \quad I_2^{\mu\nu} = -\text{Sp} \hat{q}\hat{p}\hat{q}\hat{\gamma}^\mu \hat{q}\hat{\gamma}^\nu.$$

При приведении к аналогичному виду выражения, соответствующего полюсному по μ^2 вкладу для диаграммы рис. 3, имеем

$$\frac{1}{\xi_1} \int_0^\infty \frac{d\xi \cdot I^{\mu\nu}(\xi)}{q^2 + \xi} \left\{ \frac{1}{(q + p\xi_1)^2 + \xi} - \frac{1}{(q - p\xi_1)^2 + \xi} \right\}. \quad (7)$$

Второе слагаемое в фигурной скобке (6) соответствует вкладу треугольной диаграммы, которая получается согласно тождеству Уорда при действии на вершину, помеченную звездочкой, множителем $\xi_1 \hat{p}$. Аналогичное слагаемое в (7) имеет противоположный знак, что естественно, так как отвечающая диаграмме рис. 3 треугольная диаграмма, полученная при действии $\xi_1 \hat{p}$ на соответствующую вершину, имеет противоположную первому случаю ориентацию спинорного цикла и, следовательно, согласно теореме Фарри, противоположный знак.

Таким образом, сложность вычисления глубоконеупругой асимптотики диаграмм с обменом векторными мезонами в обменном канале заключается в том, что «выживающий» в сумме диаграмм рис. 2, 3

вклад является предасимптотическим для каждой отдельной диаграммы.

Использование техники ДГС-представлений позволяет вычислить и его. Действительно, вклад в нижнюю петлю на рис. 2, б от второго слагаемого в (5) вычисляется без труда:

$$\frac{\widehat{x}}{(x^2 - i\varepsilon)^2} \frac{x^2}{(x^2 - i\varepsilon)^a} = \frac{\widehat{x}}{(x^2 - i\varepsilon)^{1+a}} \Rightarrow \frac{\widehat{k}}{(k^2 + i\varepsilon)^{2-a}}$$

Соответственно для ДГС-представления имеем (отброшены последующие предасимптотические вклады)

$$\int_0^1 \frac{d\xi_1 (1 - \xi_1) \widehat{p} \widehat{k} \widehat{p}}{\{(k - p\xi_1)^2 + i\varepsilon\}^{2-a}} \Rightarrow \frac{-\widehat{p}}{\{k^2 + i\varepsilon\}^{1-a}} + \int_0^1 \frac{d\xi_1 \cdot \widehat{p}}{\{(k - p\xi_1)^2 + i\varepsilon\}^{1-a}} + \dots$$

Первое слагаемое в этом выражении не содержит зависимости от $(k+p)^2$ и не будет содержать ее в результирующей амплитуде при любой последующей редукции, второе же слагаемое при редукции второго блока приводит к дважды логарифмическому вкладу для диаграммы рис. 2 вида

$$\begin{aligned} & \int_0^1 d\xi_1 \int_0^1 d\xi_2 \int_{a_0 - i\infty}^{a_0 + i\infty} \frac{da \cdot \Gamma^3(a)}{(m^2)^a} \text{Sp} \widehat{p} \gamma^\mu (\widehat{q} + \widehat{p}\xi_1\xi_2) \gamma^\nu \Rightarrow \\ & \Rightarrow \frac{\ln^2 2qp}{2qp} \int_0^1 \frac{d\xi \ln \xi}{\xi - x} \text{Sp} \widehat{p} \gamma^\mu (\widehat{q} + \widehat{p}\xi_1) \gamma^\nu. \end{aligned} \quad (8)$$

Приведем схему вычисления вклада, аналогичного (8), для диаграммы рис. 3. Прежде чем перейти к рассмотрению глубоконеупругой асимптотики, вычислим асимптотику петлевой функции Грина, соответствующей диаграмме рис. 4. Полученные результаты, как нетрудно понять, будут использованы для получения глубоконеупругой асимптотики. При вычислении свертки такого вида в асимптотической области (а тем более при вычислении соответствующей глубоконеупругой асимптотики диаграммы рис. 3, б — см. ниже) удобно воспользоваться координатным представлением. Тогда для вычисления асимптотики свертки

$$\int d\eta G_1^\alpha(x - \eta) G_2(\eta - z) G_1^\beta(\eta - y), \quad (9)$$

где

$$G_1^\alpha(x) = \frac{x^\alpha}{(x^2 - i\varepsilon)^2}, \quad G_2(x) = \frac{x^2}{(x^2 - i\varepsilon)^a}$$

представим числитель функции Грина $G_2(\eta - z)$ в виде суммы трех слагаемых:

$$(\eta - z)^2 = (x - \eta)^2 + (x - z)^2 - 2(x - z)(x - \eta). \quad (10)$$

Нас интересуют вклады, имеющие полюс по a (так как именно вклады такого типа оказываются существенными в дважды логарифмическом приближении соответствующих глубоконеупругих амплитуд). Интегрирование G_1 по η , а затем по z с функцией Грина $G_2^{(3)}$, где

$$G_2^{(3)} = \frac{2(x - z)(x - \eta)}{\{(\eta - z)^2 - i\varepsilon\}^a},$$

не приводит к полюсным вкладам по a . В этом можно убедиться непосредственно, вычисляя свертки по z, η , либо воспользовавшись следующим правилом. Положим в $G_2^{(3)}$ $a=0$, сохранив, однако, структуру, соответствующую числителю, тогда петлевая диаграмма превращается в простую петлевую диаграмму без «перетяжки», соответствующие свертки легко вычисляются и не содержат расходимостей, что свидетельствует об отсутствии полюсов по a . Таким образом, существенные в дважды логарифмическом приближении структуры соответствуют двум первым слагаемым в (10), вычисление асимптотики для которых несложно:

$$\int \frac{d\eta (x-\eta)^\alpha (y-\eta)^\beta}{(x-\eta)^2 \{(\eta-y)^2\}^2 \{(z-\eta)^2\}^a} \Rightarrow \Gamma(a) \frac{\partial}{\partial y^\beta} \frac{(x-y)^\alpha}{\{(x-y)^2\}^a} \Rightarrow \frac{q^\alpha q^\beta}{(q^2)^{3-a}} \quad (11)$$

и т. д.

Для вычисления глубоконеупругой асимптотики диаграммы рис. 3, б (со вторым слагаемым из (5) вместо пунктирной линии) вместо простой свертки (9) имеем свертку вида ($\mathcal{P}=p\xi$)

$$\int d\eta \cdot e^{i\mathcal{P}\eta} G_1^\alpha(x-\eta) G_2(\eta-z) G_1^\beta(\eta-y),$$

которая в a -представлении соответствует параметрическому интегралу

$$\frac{\partial}{\partial y^\beta} \int_0^\infty d\lambda \cdot \lambda^a \int \prod \alpha_i \delta(1-\sum \alpha_i) \alpha_1^{a-1} \{(x-y)^\alpha \alpha_3 + (x-z)^\alpha \alpha_1\} \times \\ \times e^{i\mathcal{P}(\alpha_1 z + \alpha_2 x + \alpha_3 y)} e^{-i\lambda \{(x-y)^2 \alpha_3 \alpha_2 + (x-z)^2 \alpha_1 \alpha_2 + (y-z)^2 \alpha_1 \alpha_2\}},$$

сводящемуся в интересующей нас области $a \sim 0$ к выражению (ср. (11))

$$\Gamma(a) \frac{\partial}{\partial y^\beta} \frac{(x-y)^\alpha}{\{(x-y)^2\}^a} \int \prod_1^2 d\beta_i \delta(1-\sum \beta_i) e^{i\beta_1 \mathcal{P}x + i\beta_2 \mathcal{P}y}.$$

В результате редукции для дважды логарифмического вклада диаграммы рис. 3 получаем

$$\int_0^1 d\xi_1 \int_0^1 d\xi_2 \int_{a_0-i\infty}^{a_0+i\infty} \frac{da \cdot \Gamma^3(a)}{(m^2)^a} \left\{ \frac{1}{(q^2 + 2qp\xi_1\xi_2)^{1-a}} - \frac{1}{(q^2 - 2qp\xi_1\xi_2)^{1-a}} \right\} \text{Sp} \gamma^\mu (\widehat{q} + \widehat{p}\xi_1\xi_2) \gamma^\nu \widehat{p}.$$

Таким образом, редукция диаграммы рис. 3 также приводит к дважды логарифмическим вкладам в асимптотику, причем в отличие от асимптотик полюсного по μ^2 типа асимптотики, имеющие дважды логарифмический характер; для диаграмм рис. 2, 3 одинаковы численно и входят в полную амплитуду с одинаковым знаком. Действительно, этот результат можно предвидеть, если воспользоваться соображениями, аналогичными приведенным для доказательства сокращения полюсных по μ^2 вкладов. Однако в последнем случае в результате умножения на $\widehat{p}\xi_1$ получаем не тройные спинорные циклы, а диаграммы с четырьмя пропагаторами, которые не компенсируют друг друга, а складываются с одинаковым знаком.

Мы показали, что при использовании соответствующей техники вычислений рассмотрение глубокоэупругих асимптотик в области малых x для перекрестно-лестничных диаграмм в фейнмановской калибровке не представляет трудностей. Так, в фейнмановской калибровке без особого труда могут быть вычислены соответствующие асимптотики всех диаграмм с векторными мезонами в обменном канале, представляющие основной интерес в рассматриваемой области квантовой хромодинамики.

Как известно, использование специальных калибровок (аксиальной и планарной), хорошо зарекомендовавших себя при рассмотрении асимптотик в главном логарифмическом приближении в области x , не слишком близких к границам допустимого в глубокоэупругом рассеянии изменения этой переменной, при переходе к области $x \rightarrow 0$ приводит к дополнительным, весьма существенным трудностям [2, 3]. В этой связи представляет интерес исследование соответствующих асимптотик в фейнмановской калибровке. Сравнение приведенного в настоящей работе рассмотрения с аналогичным рассмотрением работы [3] доказывает целесообразность такого исследования.

СПИСОК ЛИТЕРАТУРЫ

[1] Deser S., Gilbert W., Sudarshan E. C. G. Phys. Rev., 1959, 115, p. 731; Nakanishi N. Progr. Theor. Phys., 1961, 25, p. 296. [2] Mueller A. H. Phys. Lett., 1981, B104, p. 161; Nucl. Phys., 1983, B213, p. 85. [3] Mitra N. Phys. Lett., 1983, B121, p. 56; Nucl. Phys., 1983, B218, p. 145.

Поступила в редакцию
07.05.85

ВЕСТН. МОСК. УН-ТА. СЕР. 3. ФИЗИКА. АСТРОНОМИЯ, 1986, Т. 27, № 4

УДК 531.19

О КРИТЕРИИ ПЕРЕКРЫТИЯ РЕЗОНАНСОВ И ДЕФОРМАЦИИ СЕПАРАТРИС

П. В. Елютин

(кафедра квантовой радиофизики)

Среди задач стохастической динамики гамильтоновых систем определение условия перехода к глобальной стохастичности является одной из важнейших [1, 2]. Для интегрируемых систем с периодическим по времени возмущением Чириковым [3] был предложен критерий, отождествляющий такой переход с пересечением сепаратрис ближайших по переменным действия резонансов системы и возмущения. Впоследствии критерий совершенствовался: были учтены резонанс на субгармонике и конечность ширины стохастического слоя [4]. В ходе дальнейшего развития теории стало ясно, что механизм перехода к глобальной стохастичности является более тонким; он связан не с перекрытием резонансов низших порядков, а с разрушением благородных торов [5]. Однако критерий перекрытия резонансов сохраняет свою ценность в качестве достаточного условия глобальной стохастичности.

Обычно при вычислениях форма сепаратрис описывается весьма симметричными выражениями, пригодными лишь в пределе слабого возмущения. Очевидно, на пороге глобальной стохастичности возмущение уже не является малым. И действительно, асимметрия окутывающего сепаратрису стохастического слоя на компьютерных графиках